

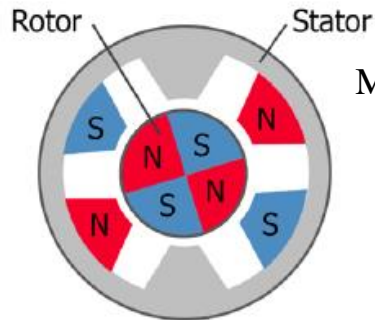
Magnetic Sensor Characterization and Signal Conditioning for Position and Speed Estimation of BLDC Motors

Bearbeiter: Julien Aziz
Betr. Mitarbeiter: Jana Mayer, Ajit Basarur
Referent: Uwe D. Hanebeck

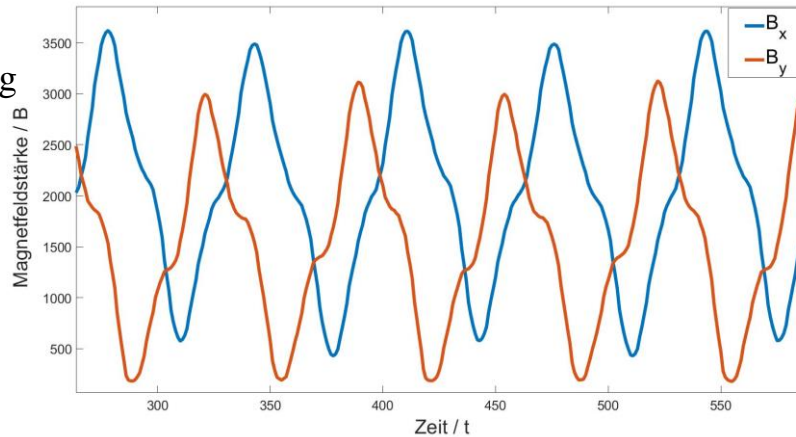
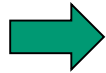
Intelligent Sensor-Actuator-Systems Laboratory (ISAS),
Institute for Anthropomatics and Robotics,
Karlsruhe Institute of Technology (KIT),
Karlsruhe, Germany

- 1. Motivation**
- 2. Sensor Position**
- 3. Signal Rekonstruktion**
- 4. Schätzmodell**
- 5. Evaluation**
- 6. Fazit und Ausblick**

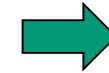
Motivation



Messung



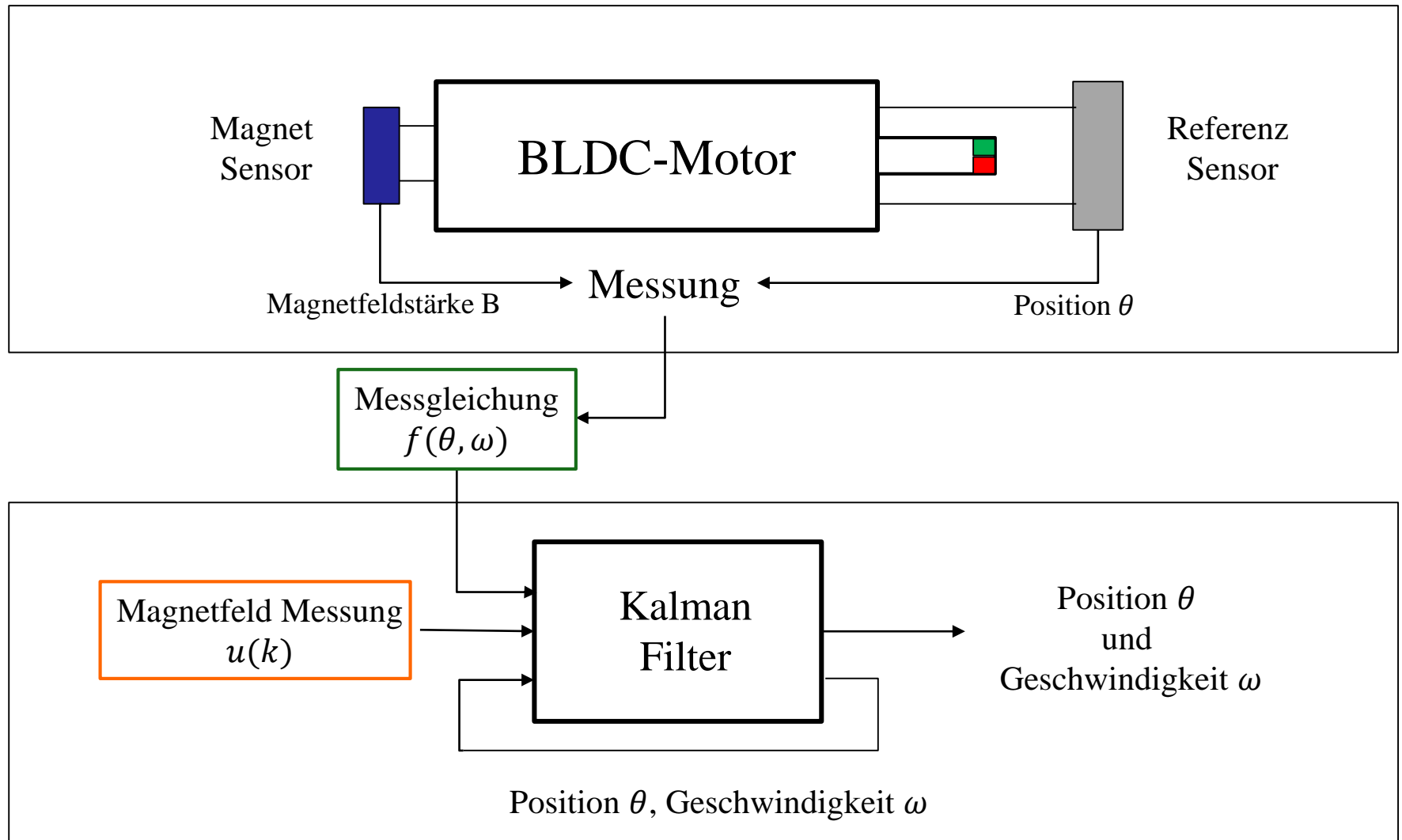
Schätzung



**Rotor Position θ
und
Geschwindigkeit ω**

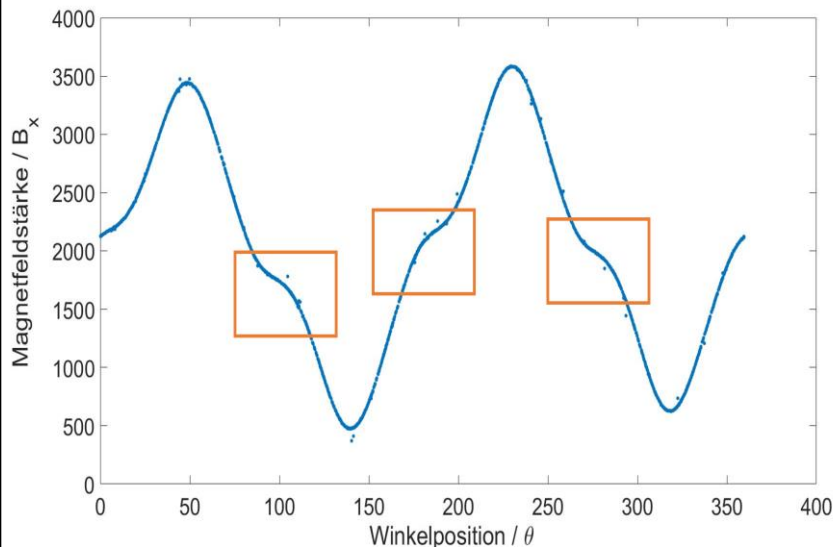
- Ziel: Präzise Bestimmung der Rotorposition von BLDC-Motoren anhand des Magnetfelds in Echtzeit

Motivation – Vorherige Arbeiten



1.

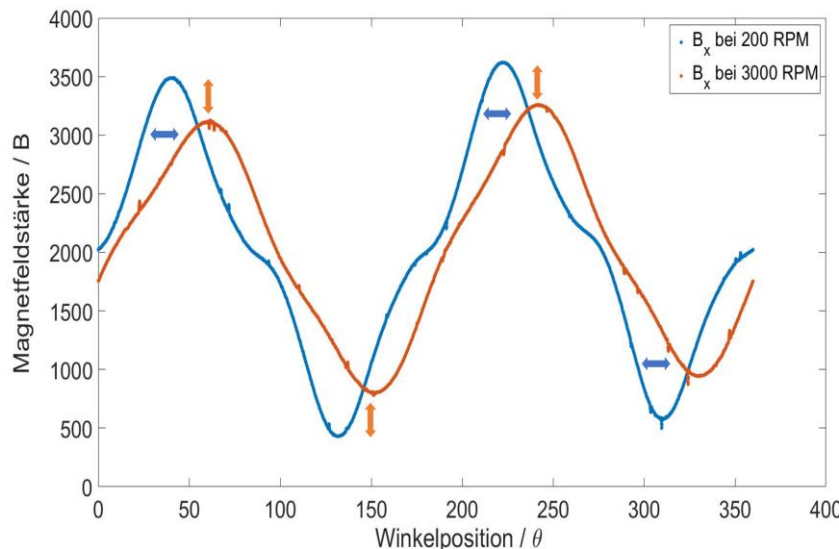
Signalverformung



- Erwartung:
Abbildung: Winkel \rightarrow Magnetstärke
ist glatte Sinuskurve
- Ist:
Verformungen an mehreren
Punkten
- Ursache:
Elektromagnetische Induktion in den
Motorspulen

2.

Geschwindigkeitsabhängigkeit

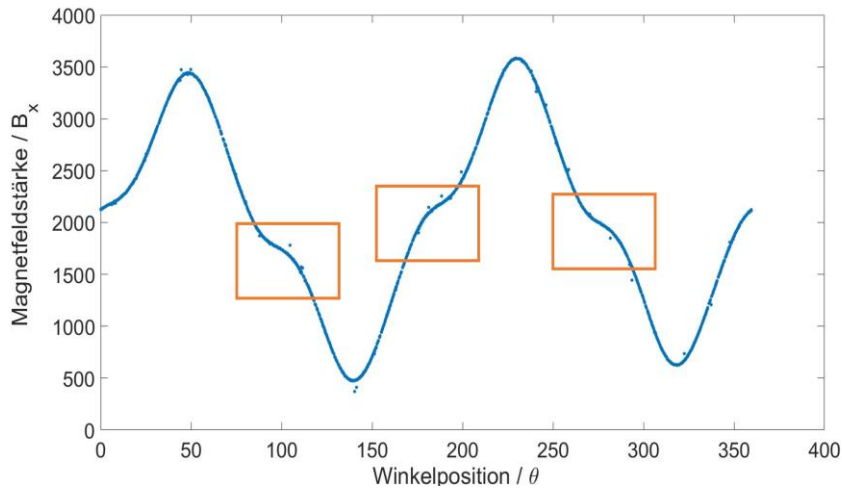


- Erwartung:
Winkelspezifische Magnetfeldstärke
für jede Geschwindigkeit gleich
- Ist:
Geschwindigkeitsabhängige
Signaltransformation
- Ursache:
Tiefpassfilter des Sensors

Motivation - Problemstellung

1.

Verformung

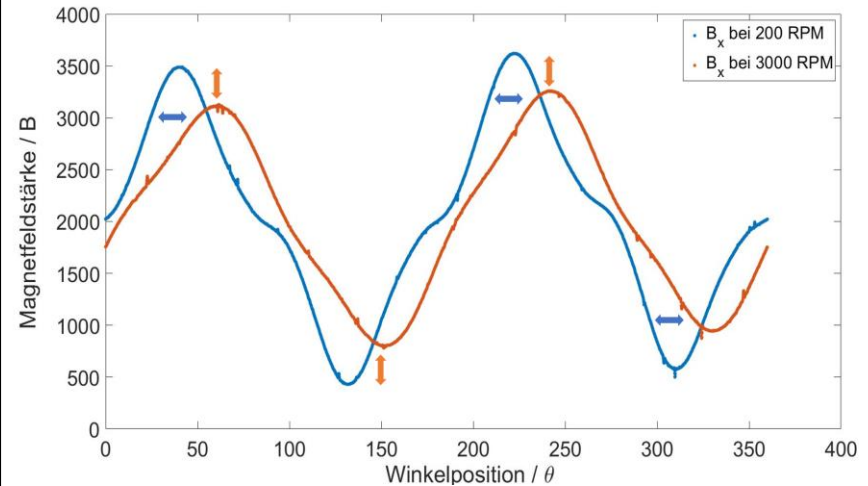


Lösungsansatz:

- Charakterisierung des Magnetflusses
- Neue Sensorposition um ungewollte Einflüsse zu vermeiden

2.

Geschwindigkeitsabhängigkeit



Lösungsansatz:

- Charakterisierung der Sensortransformation
- Approximation des ungefilterten Signals
- Inversion der Sensortransformation

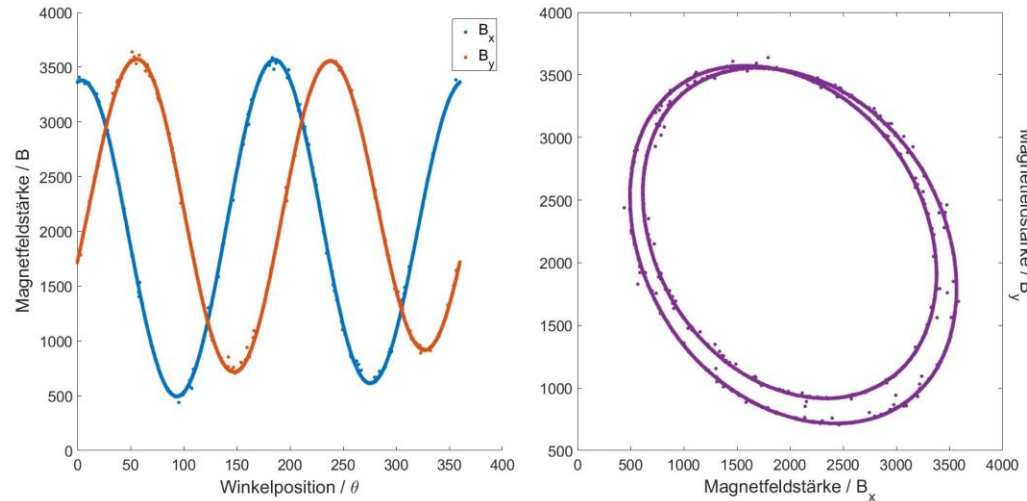


Ermöglicht die Verwendung neuer Messgleichungen mit geringer Komplexität

Sensor Position - Magnetfeldmessung

- Ziel: Messung des Magnetfeldes von den rotierenden Permanentmagneten

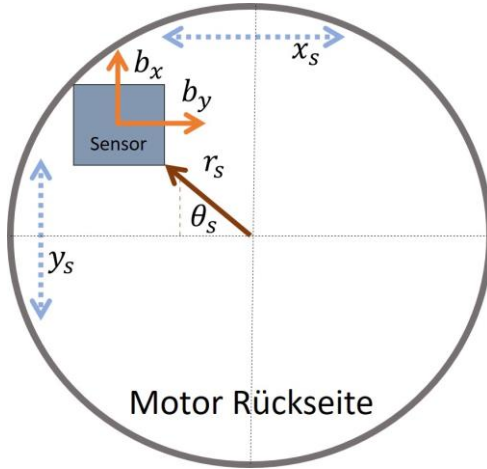
- Idealfall:



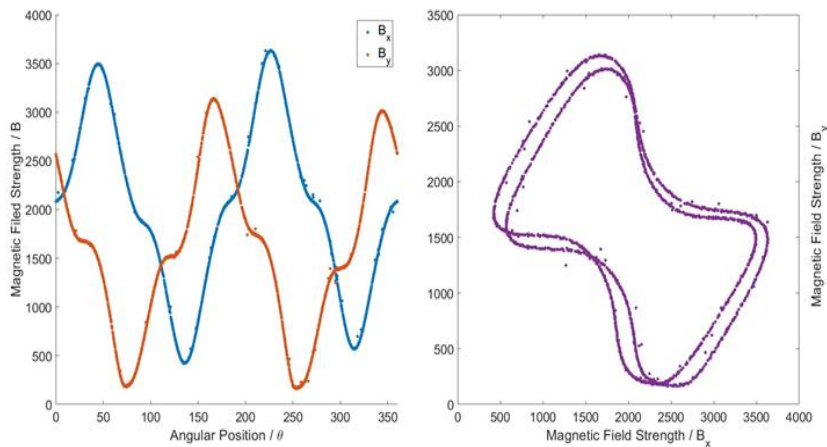
- Problem:
 1. Magnetfeld des Permanentmagneten nicht perfekt symmetrisch
 2. Unerwünschte Störungen durch elektromagnetische Induktion in den Spulen
- Ansatz: Veränderung der Messposition um Störungen zu vermeiden

Sensorposition - Magnetfeldmessung

■ Alte Position:

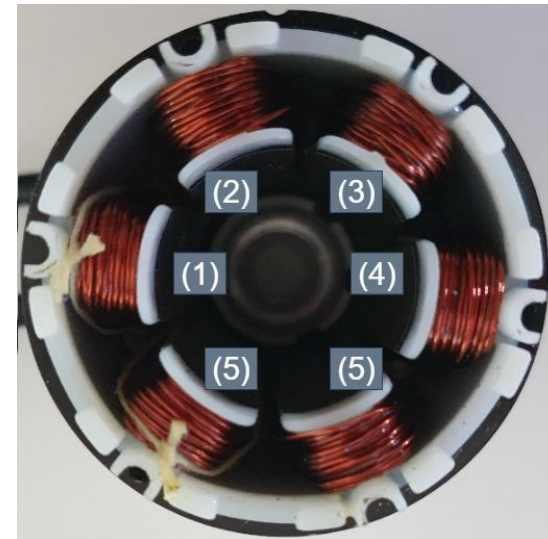


■ Messung:

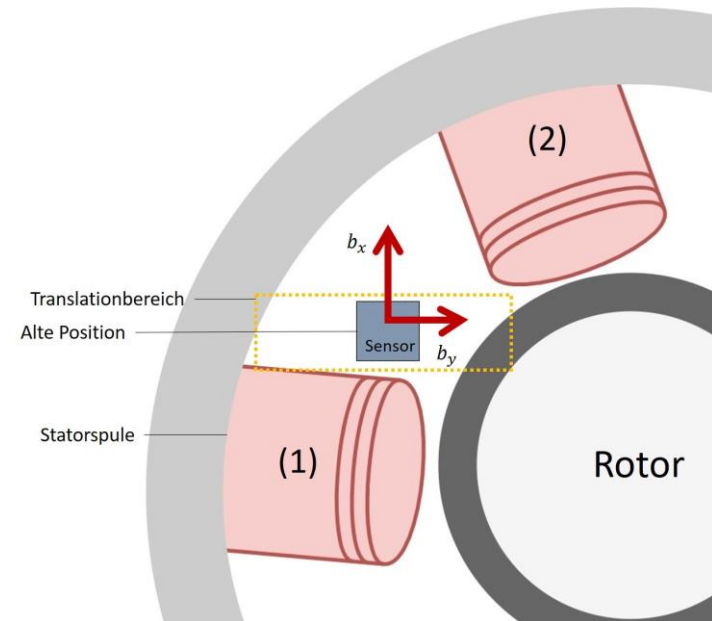
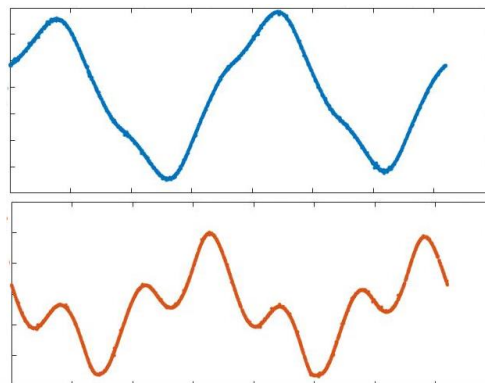
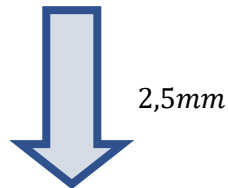
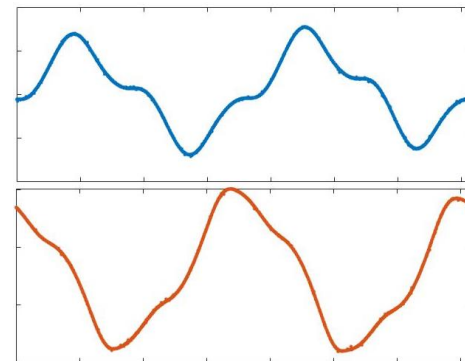
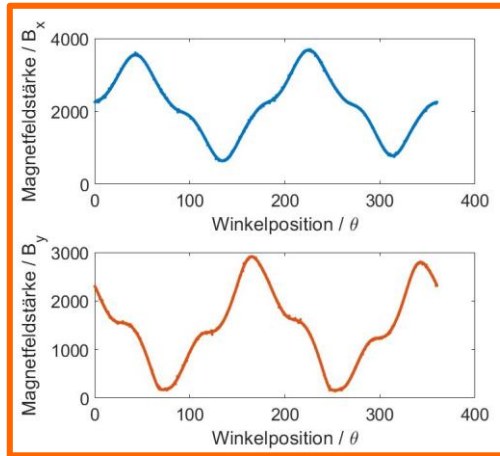
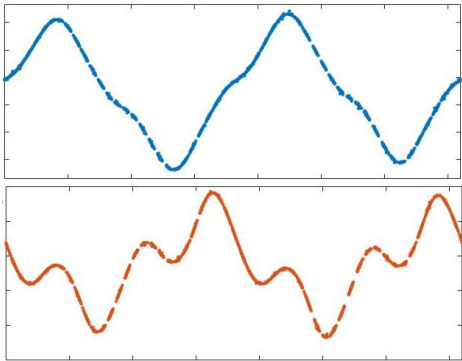


■ Positionsänderung

1. Horizontale Translation entlang x_s
 2. Vertikale Translation entlang y_s
- Berücksichtigung der Spulenverteilung



Sensor Position - Translation



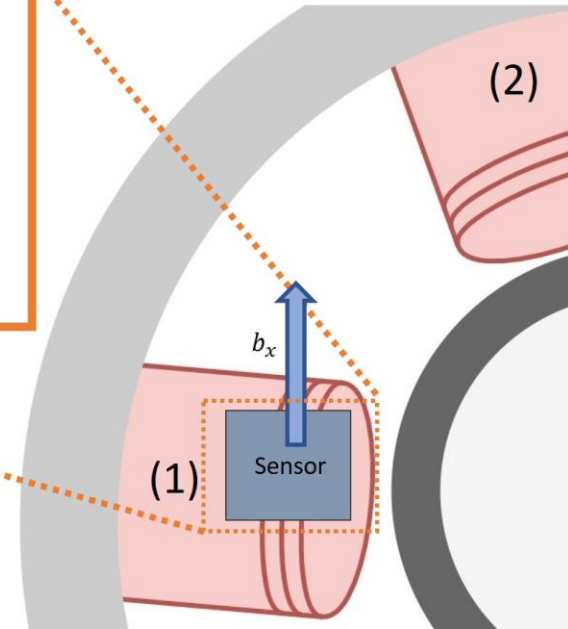
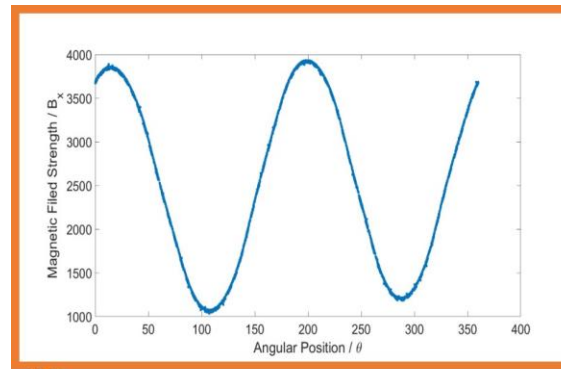
Sensor Position – Exklusive Messrichtung

- Vertikale Translation bis Sensor auf Spule (1) liegt

- Fast orthogonale Beziehung zwischen Messrichtung und Spule

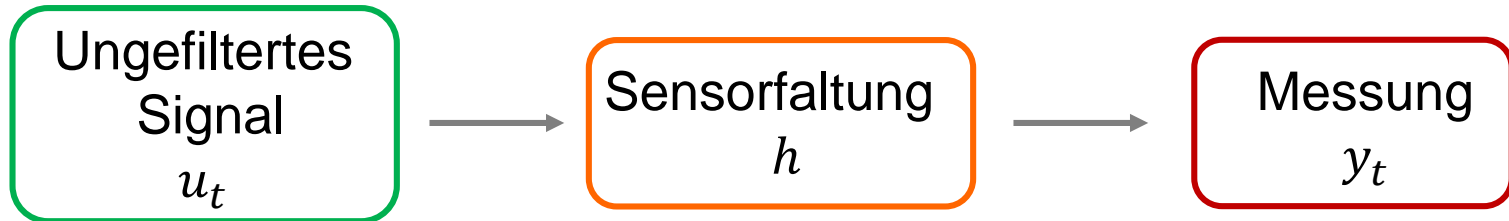
➡ Unverformtes sinusoides Signal B_x

- Idee: Nutzung einer exklusiven Messachse b_x für das Schätzmodell
 - Sensorpositionen mit sinusoidem Signal B_x
 - Verringerung der Komplexität durch Reduktion der Dimension



Signal Verarbeitung - Approximation

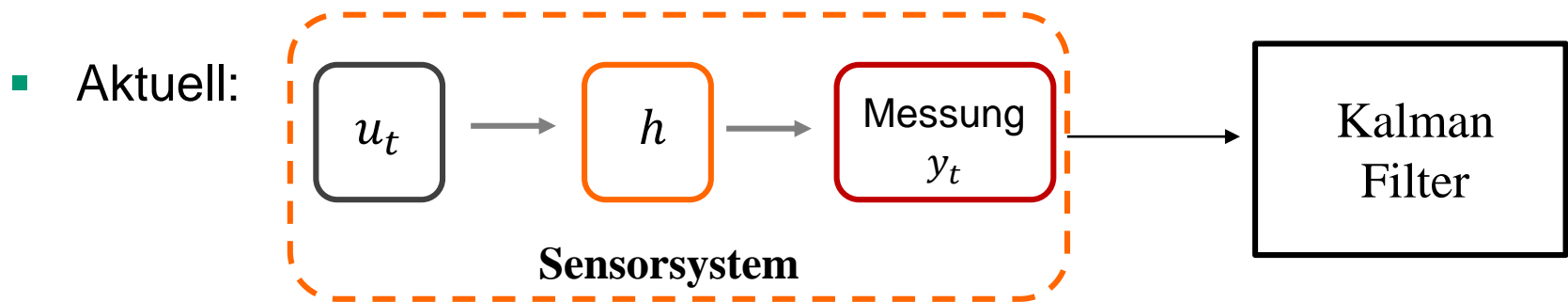
- Problem: Tiefpassfilter verursacht ungewollte Geschwindigkeitsabhängigkeit



- Starke Phasenverschiebung und geschwächte Amplitude bei hohen Geschwindigkeiten
- Signale bei niedrigen Geschwindigkeiten nahezu ungefiltert
- Übertragung dieses Verhaltens auf alle Geschwindigkeiten

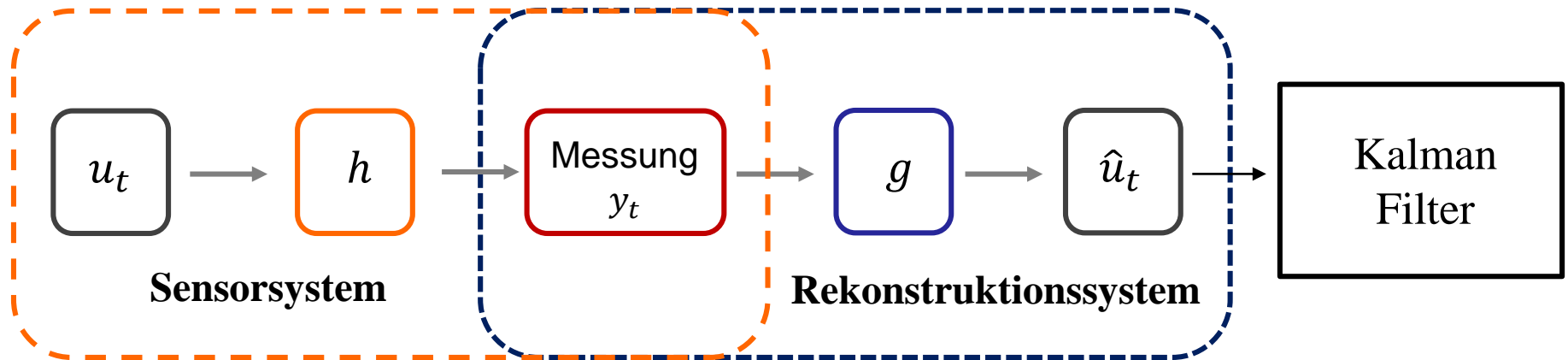
➡ Approximation von Ein-Ausgabe-Paaren
 (\hat{u}_t, \hat{y}_t)

- Idee: Transformation der Messung y_t während des Schätzprozesses



- Identifikation eines neuen Systems g
 - Eingabe ist Messung y_t
 - Ausgabe soll möglichst präzise Schätzung des ungefilterten Signals u_t sein
 - $\hat{u}_t = g * y_t = g * h(u_t)$
 - \hat{u}_t idealerweise Geschwindigkeitsunabhängig

Signal Verarbeitung – Rekonstruktion



- Identifikation von g mithilfe der approximierten Ein-Ausgabe-Paare (\hat{u}_t, \hat{y}_t)
- Evaluation durch Eingabe von echten Messungen y_t
- Identifikationsansätze:
 1. Korrelationsanalyse
 2. Instrumentvariablen-Schätzung
 3. Sub-Space Identifikation

Signal Rekonstruktion – 1. Korrelationsanalyse

- Beschreibung des Systems durch Impulsantwort $g(k)$

$$y(t) = \sum_{k=0}^{\infty} g(k) u(t - k)$$

- Ansatz: Mithilfe der Kreuzkorrelation von Ein- und Ausgabe die Gewichtsfunktion $g(k)$ bestimmen

$$R_{yu}(\tau) = \sum_{k=0}^{\infty} g(k) R_{uu}(\tau - k)$$

- Für eine endliche Anzahl an Eingaben N wird nun approximiert:

■ $R'_{yu}(\tau) = \frac{1}{N} \sum_{t=1}^{N-\tau} u(t + \tau) y(t) ,$	$\tau = 0, 1, 2, \dots N - 1$
■ $R'_{uu}(\tau) = \frac{1}{N-\tau} \sum_{t=1}^{N-\tau} u(t + \tau) u(t) ,$	$\tau = 0, 1, 2, \dots N - 1$

- Pre-Whitening Filter erforderlich
- Verwendete Eingaben müssen das Verhalten des Systems repräsentieren
- Hohe Ordnung und damit hohe Komplexität benötigt

Signal Rekonstruktion – 2. SRIVC Method

- „**S**implified **R**efined **I**nstrumental **V**ariable method for **C**ontinuous-time Systems“

- System beschrieben als Differentialgleichung

- $y^{(n)}(t) + a_1 y^{(n-1)}(t) + \dots + a_n y^{(0)}(t) = b_0 u^{(m)}(t) + b_1 u^{(m-1)}(t) + \dots + b_m u^{(0)}(t)$
- Sei s der Differentialoperator so lässt sich das System beschreiben:

$$y(t) = \frac{b_0 s^m + b_1 s^{m-1} + \dots + b_m}{s^n + a_1 s^{n-1} + \dots + a_n} u(t)$$

- Idee: $F(s) = \frac{1}{A(s)} = \frac{1}{s^n + a_1 s^{n-1} + \dots + a_n}$ als Filter initialisieren und iterativ das Modell trainieren

- Instrumentvariable: $\left[-y_f^{(n-1)}(t) \dots -y_f^{(0)}(t) \quad u_f^{(m)}(t) \dots u_f^{(0)}(t) \right]$

- $\frac{1}{A(s)}$ muss bekannt sein bzw. geschätzt werden
- Modellordnung muss vorab geschätzt werden
- Kann zu Konvergenzproblemen führen

Signal Rekonstruktion – 3. State Space

- **N4SID** – „Numerical Algorithm for State Space Subspace System Identification”
- System im Zustandsraum:
 - $x_{t+1} = Ax_t + Bu_t$
 - $y_t = Cx_t + Du_t$
- Idee: Ordnung n und Parametrisierung des Systems aus Unterräumen von Ein/Ausgabe schätzen
- Hankel-Matrizen vergangener/zukünftiger Ein/Ausgaben
 - U_p, U_f, Y_p, U_f
- $O_i = Y_{f/U_f} (U_p \ Y_p)^T$
 - Schiefe Projektion der Zukunfts-Ausgabe Y_f entlang des Zeilenraums der Zukunftseingabe U_f in den Zeilenraum der vergangenen Ein/Ausgaben U_p, Y_p
- Aus Singulärwertzerlegung von O_i kann nun:
 - Systemordnung n bestimmt werden
 - Basis für Regression der Parametrisierung definiert werden

- Kombination 3 neuer Ansätze
 1. Eindimensionale Messvariable B_x
 2. Neue Sensorposition mit glattem sinusoidem Signal
 3. Transformation des gemessenen Signals vor Eingabe in den Kalman Filter mit identifiziertem System g

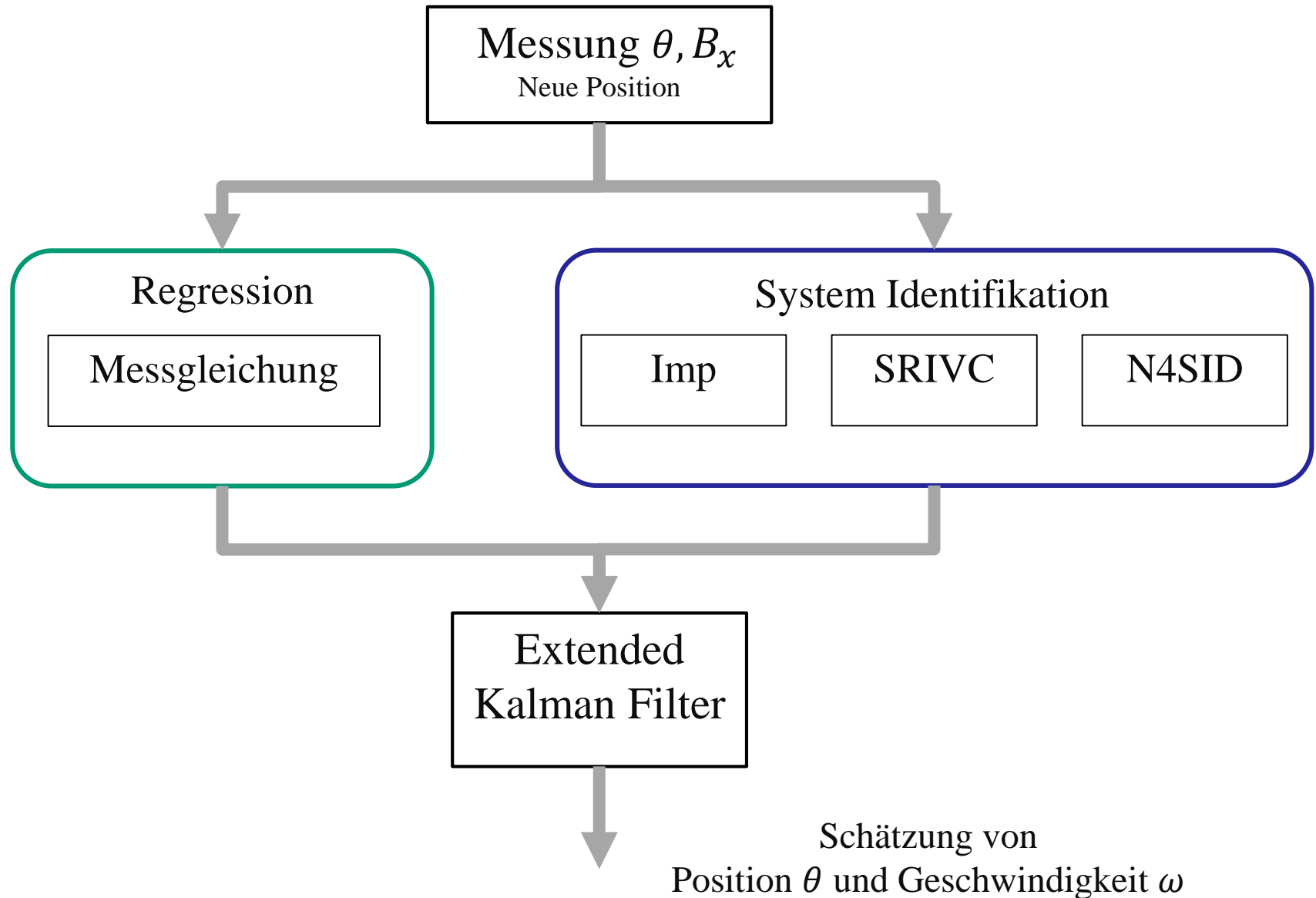


Signifikante Vereinfachung der Messgleichung f

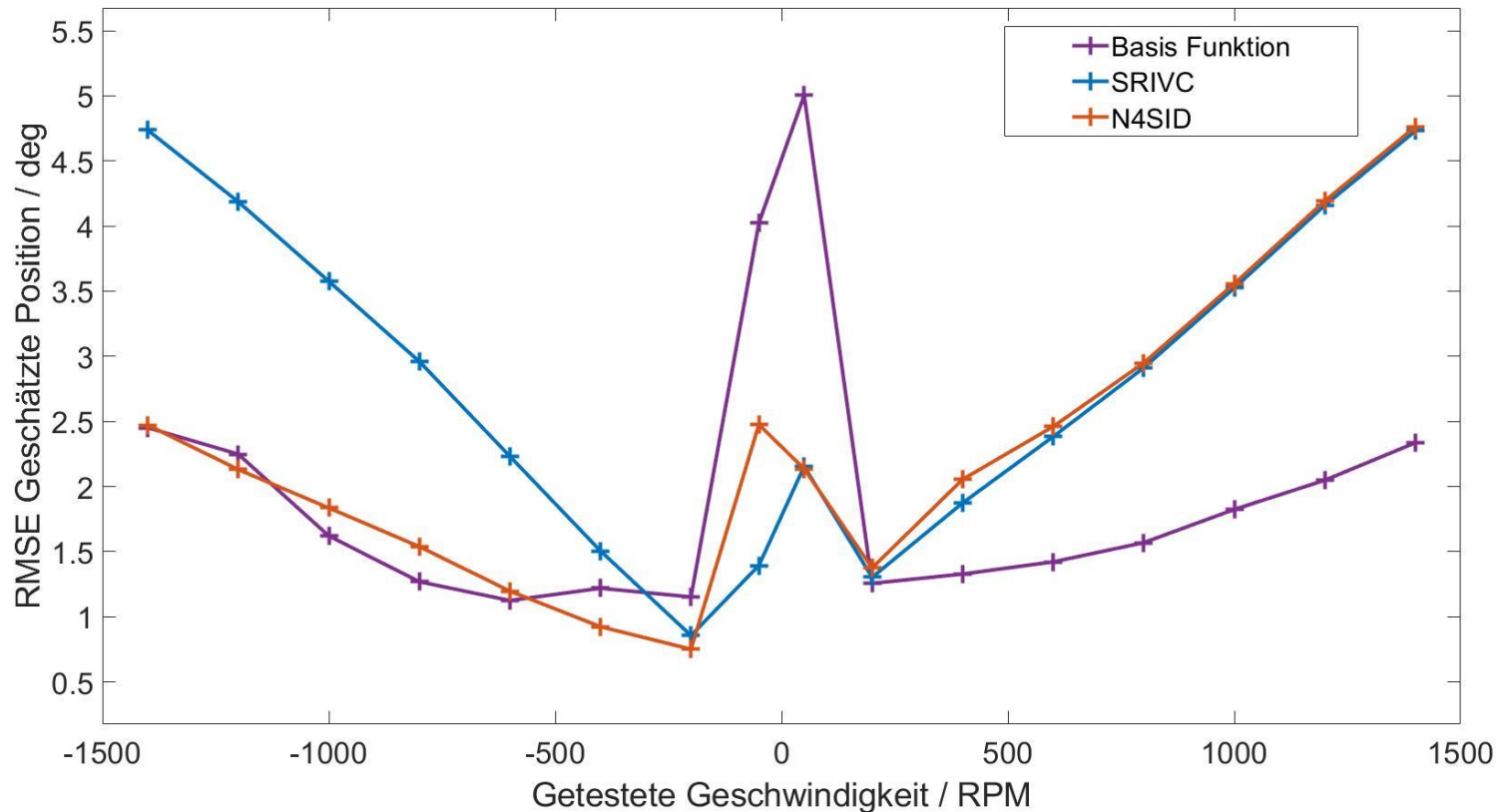
- Eindimensionale Abbildung
- Geschwindigkeitsunabhängig
- Beschreibbar als einfacher sinusoider Term

$$\begin{aligned} &\text{Messgleichung} \\ &f: \text{Rotorwinkel} \rightarrow \text{Magnetfeldstärke} \\ &\theta \rightarrow B_x \end{aligned}$$

Schätzmodell - Training

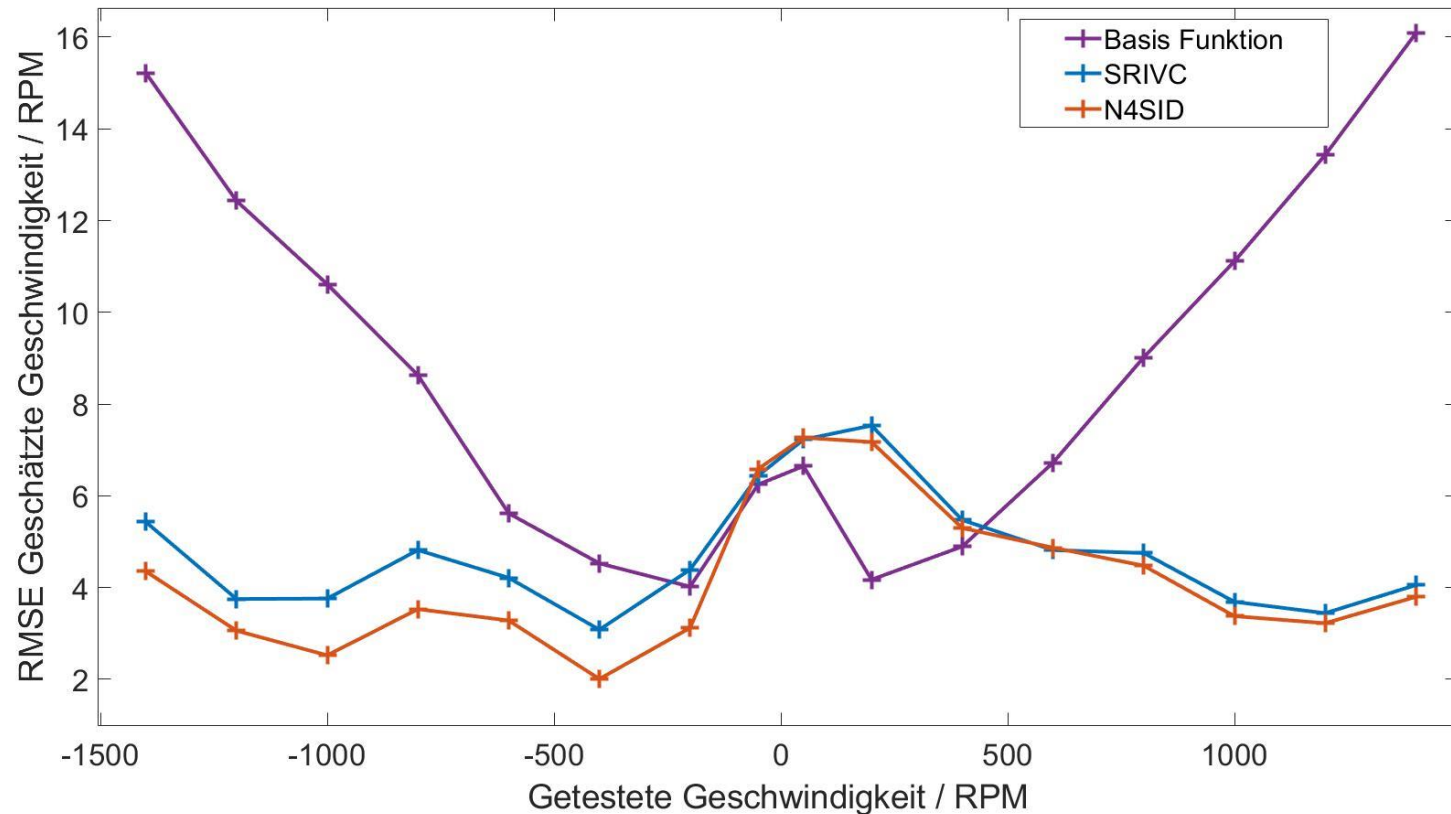


Auswertung – Position Schätzfehler



- Basisfunktion sensibel gegenüber Rauschen
- SRIVC steigender Fehler bei hohen Geschwindigkeiten
- N4SID starke Abweichung zwischen Rotationsrichtungen

Auswertung – Geschw. Schätzfehler



- Basisfunktion hat Probleme bei steigenden Geschwindigkeiten
- SRIVC und N4SID relativ konstant über alle Geschwindigkeiten
- Leicht erhöhte Fehler bei niedrigen Geschwindigkeiten

Auswertung – Rechenzeit

- Komplexität der System bestimmt durch Modellordnung

		Imp	SRIVC	N4SID
Modellordnung	Positiv	15	3	3
	Negativ	11	2	2

- Rechenzeit pro Schätziteration als Indikator für Komplexität des Schätzmodells

	Imp	SRIVC	N4SID	Basis Funktion
Rechenzeit pro Schätzung / ms	0.0689	0.0679	0.0662	0.3229

- Signifikante Reduzierung der Rechenzeit zu vorherigen Arbeiten
- Komplexität der Systeme wenig Einfluss auf Rechenzeit

- Zwei wesentliche Probleme des Schätzmodells eliminiert
 - Neue Sensorposition mit unverformten Signal der Permanentmagneten
 - Effiziente System konstruiert um ungewollte Tiefpasstransformationen zu invertieren
- Erfolgreich die Dimension der Messvariable reduziert
- Integrierung der neuen Ansätze in das Modell mit präzisen Schätzergebnissen
 - $RMSE(\theta)_{N4SID} = 2,3168 \text{ deg}$
 - $RMSE(\omega)_{N4SID} = 4,2435 \text{ RPM}$
- Signifikante Rechenzeitreduktion von $0,2567 \text{ ms}$ zu vorherigen Arbeiten bei gesteigerter Schätzpräzision

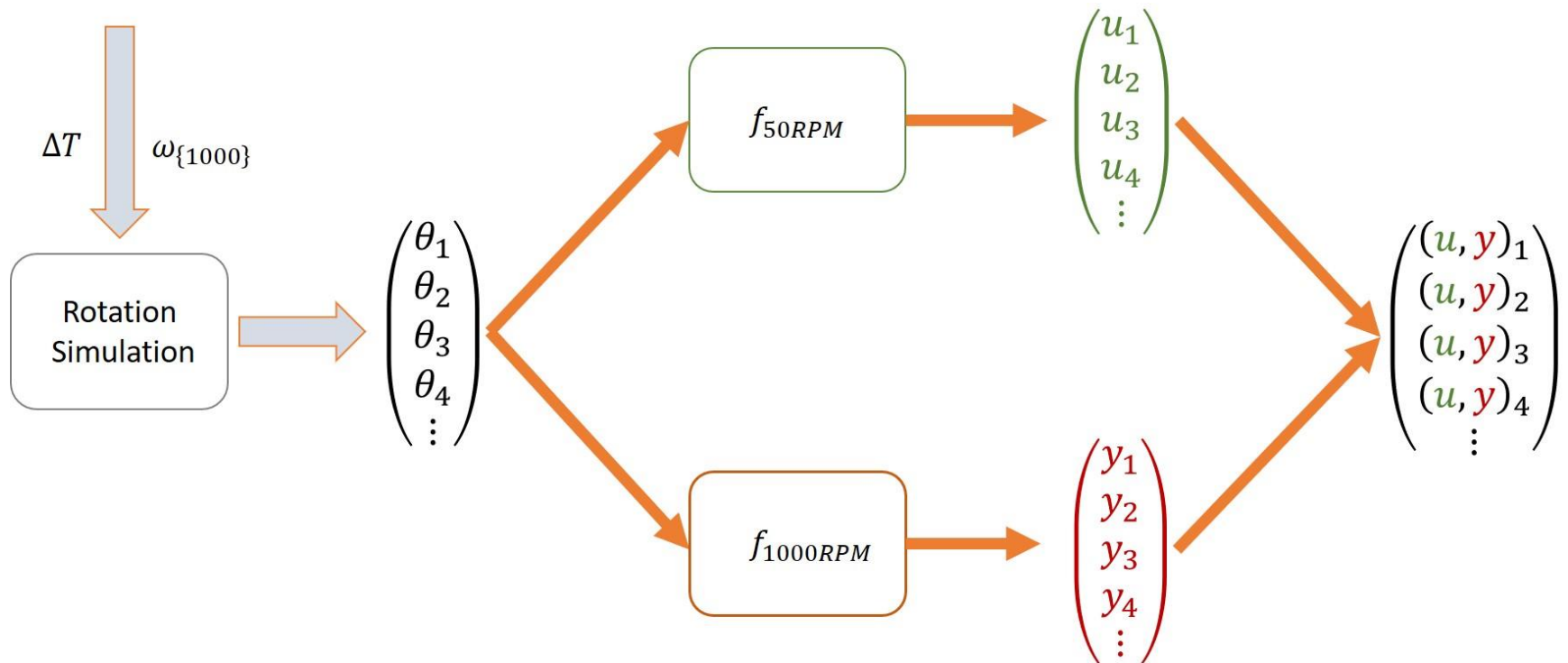
- Rotation des Sensors ermöglichen für besser Messpositionen
- Erhöhung der Systemkomplexitäten für präzisere Ergebnisse und weniger Overhead
- Das Schätzmodell unter Last evaluieren

Thank you for your attention



Ein-Ausgabe-Simulation

- $f: \text{Rotorwinkel} \rightarrow \text{Magnetfeldstärke}$ individuell für jede Geschwindigkeit
- Abbildung einer niedrigen Geschwindigkeit als Referenz



- Für eine endliche Anzahl an Eingaben N wird nun approximiert:

- $R'_{yu}(\tau) = \frac{1}{N} \sum_{t=1}^{N-\tau} u(t + \tau) y(t) , \quad \tau = 0, 1, 2, \dots N - 1$

- $R'_{uu}(\tau) = \frac{1}{N-\tau} \sum_{t=1}^{N-\tau} u(t + \tau) u(t), \quad \tau = 0, 1, 2, \dots N - 1$

- Mit folgendem Gleichungssystem:

- $$\begin{pmatrix} R'_{yu}(0) \\ \vdots \\ R'_{yu}(N-1) \end{pmatrix} = \begin{pmatrix} R'_{uu}(0) & \cdots & R'_{uu}(N-1) \\ \vdots & \ddots & \vdots \\ R'_{uu}(N-1) & \cdots & R'_{uu}(0) \end{pmatrix} \begin{pmatrix} g(0) \\ \vdots \\ g(N-1) \end{pmatrix}$$

lässt sich ein $g(t)$, N-ter Ordnung ermitteln

- „**S**implified **R**efined **I**nstrumental **V**ariable method for **C**ontinuous-time **S**ystems“

- System beschrieben als Differentialgleichung

- $y^{(n)}(t) + a_1 y^{(n-1)}(t) + \dots + a_n y^{(0)}(t) = b_0 u^{(m)}(t) + b_1 u^{(m-1)}(t) + \dots + b_m u^{(0)}(t)$
- Sei s der Differentialoperator so lässt sich das System beschreiben:

$$y(t) = \frac{B(s)}{A(s)} u(t)$$

$$\text{mit } A(s) = s^n + a_1 s^{n-1} + \dots + a_n$$

$$B(s) = b_0 s^m + b_1 s^{m-1} + \dots + b_m$$

- Fehlerfunktion: $\varepsilon(t) = y(t) - \frac{B(s)}{A(s)} u(t)$
- Umgeformt: $\varepsilon(t) = \frac{1}{A(s)} [A(s)y(t) - B(s)u(t)]$
- Idee: $F(s) = \frac{1}{A(s)}$ als Filter initialisieren und iterativ das Modell trainieren

Signal Rekonstruktion – 2. SRIVC Method

- Fehlerfunktion: $\varepsilon(t) = F [A(s)y(t) - B(s)u(t)]$
- Da Linear: $\varepsilon(t) = A(s) y_f(t) - B(s)u_f(t)$
 - Bzw. $\varepsilon(t) = y_f^{(n)}(t) + \dots + a_n y^{(0)}(t) - b_0 u_f^{(m)}(t) - \dots - b_m u^{(0)}(t)$
 - Wobei $y_f^{(i)} = f_i(t) * y(t)$, $i = 0, \dots, n$
 - Mit $f_i(t) = L^{-1}(\frac{s^i}{A(s)})$

$$\text{➤ } y_f^{(n)}(t) = \begin{bmatrix} -y_f^{(n-1)}(t) \dots - y_f^{(0)}(t) & u_f^{(m)}(t) \dots u_f^{(0)}(t) \end{bmatrix} \begin{bmatrix} a_1 \\ \dots \\ a_n \\ b_0 \\ \dots \\ b_m \end{bmatrix} + \varepsilon(t)$$

- Instrumentvariable: $\begin{bmatrix} -y_f^{(n-1)}(t) \dots - y_f^{(0)}(t) & u_f^{(m)}(t) \dots u_f^{(0)}(t) \end{bmatrix}$
- $\frac{1}{A(s)}$ muss bekannt sein bzw. geschätzt werden
- Modellordnung muss vorab geschätzt werden
- Kann zu Konvergenzproblemen führen

Signal Rekonstruktion – 3. State Space

- **N4SID** – „Numerical Algorithm for State Space Subspace System Identification”
- System im Zustandsraum:
 - $x_{k+1} = A x_k + B u_k$
 - $y_k = C x_k + D u_k$
- Idee: Ordnung n und Parametrisierung des Systems aus Unterräumen von Ein/Ausgabe schätzen
- Sei:
 - $X_p = (x_0, \dots, x_{j-1}) \in \mathbb{R}^{n \times j}$ Zustandssequenz der Vergangenheit
 - $X_f = (x_i, \dots, x_{i+j-1}) \in \mathbb{R}^{n \times j}$ Zustandssequenz der Zukunft
 - $U_p = \begin{pmatrix} u_0 & \cdots & u_{j-1} \\ \vdots & \ddots & \vdots \\ u_{i-1} & \cdots & u_{i+j-2} \end{pmatrix}$ die Hankel-Matrix vergangener Eingaben
 - $U_f = \begin{pmatrix} u_i & \cdots & u_{2i+j-1} \\ \vdots & \ddots & \vdots \\ u_{2i-1} & \cdots & u_{2i+j-2} \end{pmatrix}$ die Hankel-Matrix der zukünftigen Eingaben
 - Für Ausgaben Y_p, Y_f analog

Signal Rekonstruktion – 3. State Space

- Erweiterte Beobachtungsmatrix:

$$\Gamma_i = (C \quad CA \quad CA^2 \quad \dots \quad CA^{i-1})^T$$

- $O_i = Y_{f/U_f} (U_p \quad Y_p)^T$
 - Schiefe Projektion der Zukunfts-Ausgabe Y_f entlang des Zeilenraums der Zukunftseingabe U_f in den Zeilenraum der vergangenen Ein/Ausgaben U_p, Y_p
 - Wobei gilt: $O_i = \Gamma_i X_f$
- Aus Singulärwertzerlegung von O_i kann nun:
 - Systemordnung n bestimmt werden
 - Die erweiterte Beobachtungsmatrix Γ_i geschätzt werden
- Mit bekannten Γ_i, O_i können nun X_f sowie A und C bestimmt werden
- B, D durch lineares Regressionsverfahren

Auswertung - Schätzfehler

Positive Rotation

System	RMSE(θ) / deg	RMSE(ω) / RPM
Imp	121.1584	49.6462
SRIVC	2.8800	5.1206
N4SID	2.9678	4.9448

Negative Rotation

System	RMSE(θ) / deg	RMSE(ω) / RPM
Imp	120.2361	52.7653
SRIVC	2.6809	3.5901
N4SID	1.6657	3.5546